

批准立项年份	2008 年
通过验收年份	2013 年

国家级实验教学示范中心年度报告

(2019 年 1 月 1 日——2019 年 12 月 31 日)

实验教学中心名称: 地球科学国家级实验教学示范中心

实验教学中心主任: 潘懋

实验教学中心联系人/联系电话: 郭艳军/010-62751162

实验教学中心联系人电子邮箱: yanjunguo@pku.edu.cn

所在学校名称: 北京大学

所在学校联系人/联系电话: 张媛/010-62751418

2020 年 5 月 21 日填报

第一部分 年度报告编写提纲（限 5000 字以内）

一、人才培养工作和成效

（一）人才培养基本情况。

中心在地球科学人才培养上，树立了正确的教学理念、不断探索、创新实践教学体系和管理模式，建立了“模块化、层次性、开放式”的实践教学课程体系。强势的重点学科群、一流的师资队伍、浓厚的科研氛围、先进的实验仪器设备和野外实习基地、开放的综合性信息化实践教学平台使中心成为国内一流创新型地学人才的培养基地和“地球科学综合实验教学平台和教学—科研活动共享平台”。为加强本科生实践动手能力，中心积极开展实验教学改革探索与实践，进一步完善管理制度，在学科配置、师资力量、室内实验室和野外实习基地建设、信息化实验教学平台搭建、教学内容和教学方法改进等诸多方面均取得显著进步，力求为地球科学领域培养理论扎实、实践能力强的一流优秀人才。

（二）人才培养成效评价等。

中心现拥有 4 个一级学科（其中 2 个为国家重点学科），11 个二级学科（其中 7 个为国家重点学科，1 个国家重点培育学科，1 个北京市重点学科）。中心下辖下设 4 个分中心、24 个教学实验室、7 个野外实习基地以及 3 个计算机教学实验室，分布在地球与空间科学学院、城市与环境学院和物理学院。中心拥有 25 个教学实验室、7 个

野外实习基地以及 3 个计算机教学实验室。中心常规仪器设备先进、实习标本品质优良，配置合理，满足了综合性、设计性、创新性等现代实验教学的要求。

与该本科生培养模式相适应的模块式课程体系相配套的实习课程进行了配套支撑，实验教学内容面向地质学、地球化学、地球物理学、地理信息科学、空间科学与技术、地理科学、资源环境与城乡规划管理、大气科学等 8 个专业 622 名本科上，并开设面向北京大学的核心理论课 2 门，选课学生来自 20 多个专业。中心共开设有实验讲义和既往学生实验报告的实验项目 186 项。（2）实验教材：由中心固定人员担任主编、正式出版的实验教材。（3）实验课程：在专业培养方案中独立设置学分的实验课程共有 186 项，年度开课 93 项，实验教材总数 2 项。

在本年度内，本科生共发表 SCI 论文 2 篇，5 人获得全国地球科学大数据挖掘与人工智能挑战竞赛一等奖（指导教师：郭艳军高级工程师）。同时，承办了第二届全国中学生地球科学竞赛，全国约 2 万名热爱地球科学的中学生参加了此次竞赛，很好的推广了地球科学的科普教育工作。

二、人才队伍建设

（一）队伍建设基本情况。

中心实验教学师资力量雄厚，队伍结构合理。现有专职、兼职教师 100 人，其中专职实验技术人员 6 人，教授讲授本科生课程并指导

实验/实习课程比例超过 60%。师资队伍中包括：中国科学院院士 1 名，长江特聘教授 5 名，千人计划 1 名；青年千人计划 2 人，国家杰出青年基金获得者 7 名，北大百人计划特聘研究员 8 人，国家“创新团队” 2 个；北京市教学名师 2 人。宗秋刚教授和他的科研团队获得 2018 年 Vikram Sarabhai 金质奖章。

（二）队伍建设的举措与取得的成绩等。

中心实行主任负责制，主任统筹调配教育教学资源，实行实验教学和实验室一体化管理。中心的管理特点：(1)建立主任—主管院长联席会议制度并建立了教学指导委员会，更好地协调了中心管理和各学院管理之间的关系；(2)建立中心定期工作会议制度，贯彻民主决策制度；(3)所有人员参加年度岗位评定活动，鼓励教师积极投入和改革创新，获得多项荣誉。

三、教学改革与科学研究

（一）教学改革立项、进展、完成等情况。

中心积极开展本科教学改革工作，本年度共完成国家级虚拟仿真实验教学项目立项 1 项、校级本科教学改革项目立项 6 项。在 2018-2019 年度校级教学改革项目中，中心共立项 11 项，包括《世界一流高校地学实验教学研究》等实验教学改革项目。在 2019 年度全部教学改革项目完成了预期目标，通过学校专家组审核，所有项目均获得验收通过。

《地球物理模拟系统》项目 2018 年获得了北京大学“中央级普

通高校改善基本办学条件专项资金项目”立项,该项目于 2019 至 2021 年执行,共 3 年。2019 年为该项目执行第一年,进展顺利,利用国家科技重大专项子课题取得的 1 项授权国家发明专利研究成果,应用于《地球物理模拟系统》项目的实验教学。

此外,中心陈斌副教授主讲的《离散数学概论》,2019 年获批国家精品在线开放课程(现国家级线上一流课程)。

(二) 科学研究等情况。

示范中心在 2019 年的科研成果产出继续保持较高水平,并能够将科研成果融入教学。中心承担和完成国家级项目 49 项,科研经费快速增长,2019 年科研经费已超过 2 亿元,主要以国家级自然科学基金、大型仪器研制等国家级的科研项目,其中承担国家级科研项目 2 项:①国家科技重大专项子课题“碳酸盐岩复杂波场正演模拟方法研究”(编号:2016ZX05004003-008),2016-2020 年;②国家重点研发计划专题“非线性成像理论与方法技术研究”(编号:2018YFA0702503),2019-2024 年。获得专利 20 项,发表 SCI 论文、EI 和核心等 105 篇。

四、信息化建设、开放运行和示范辐射

(一) 信息化资源、平台建设,人员信息化能力提升等情况。

中心建设了“北京大学地球科学国家级实验教学示范中心平台”,积极开展地球科学信息化建设。在中心实验教学平台上开展信多个息化资源建设项目,建设有“北京大学地学实验教学资源共享平台”、

“北京大学本科生科研信息系统”、“北京大学野外地质实习移动服务工作站”等信息化项目。通过信息化课程资源的建设，为地球科学实验教学提供了良好的学习和实践平台，提高了教学效率，扩大了中心影响力和辐射效果。

中心重视工作人员的信息化技能发展，邀请上海曼恒数字技术股份有限公司、北京润尼尔网络科技有限公司等在地球科学信息化领域有丰富经验的企业对中心的教师和学生助理进行技术培训。培训会议累计 4 次，包含了信息化、3D 建模及可视化等方面的内容，使中心人员的信息化能力得到了较大提升。

（二）开放运行、安全运行等情况。

1. 开放运行

在优良的学术与教学传统下，中心非常注重科普教育与对外交流合作，承担了北京大学校园开放日、北京大学优秀中学生暑期学堂等。2019 年共参与接待校内外人士参观交流活动四十多场，包括校内学生的课程实习、青少年科普参观、校园开放日和国内外各大高校师生的参观交流等，共接待参观人数到达 4800 余人。深受广大师生的喜爱和好评，充分发挥中心示范引领作用和社会使命。

2. 安全运行

中心一直坚持各门课程实验结束后的安全卫生三级检查制度：学生自查、助教检查和实验员督查。中心每年进行按月安全检查工作，并制定了安全规章制度等。

(三) 对外交流合作、发挥示范引领、支持中西部高校实验教学改革等情况。

1. 本年度，对外交流工作：参加第一届中国地球科学大数据挖掘与人工智能挑战赛、中国慕课大会、2019 年新时代高校地球科学教学改革与创新研讨会、第十次李四光优秀学生奖颁奖大会、教学指导委员会会议、示范中心联席会会议等。

2. 中心 2019 年继续发挥示范引领作用：3 月 5 日英国杜伦大学 Van Mildert 书院院长 David Harper 来中心考察交流，4 月 2 日中国地质大学（北京）能源学院 20 人来中心考察交流、7 月 4 日香港中文大学地球科学系谭佩玉老师一行师生 20 余人来中心考察交流、8 月 8-9 日中心接待了 2019 年北京大学优秀中学生暑期学堂 25 个班共计 500 余人，9 月 20 日北京一零一中学地理组何群老师一行 8 人来中心考察交流。

3. 中心 2019 年继续为中西部院校服务：4 月 18 日北京大学考古文博学院张剑葳副院长、吴煜楠老师与郑州大学历史学院崔天兴老师一行 8 人来中心考察交流；4 月 19 日武汉大学测绘学院党委书记孙萍一行 6 人来中心考察交流；12 月 20 日中国地质大学（武汉）教师与云南迪庆有色金属有限责任公司相关技术人员一行 5 人来中心考察交流。

五、示范中心大事记

(一) 有关媒体对示范中心的重要评价，附相应文字和图片资料。

1. 第十次李四光优秀学生奖颁奖大会在北京大学举行

李四光优秀学生奖是由李四光地质科学奖基金会全额资助，由教育部科技司、自然资源部科技司、北京大学、中国地质大学、中国矿业大学和中国石油大学等单位于2010年共同发起设立，目前已成为我国地球科学领域为学生设立的最高奖项。李四光优秀学生奖办公室设立在我中心，从该奖项设立之初，奖项的评选工作和颁奖工作均由本中心协助各个参与单位开展。2019年10月26日，第十次李四光优秀学生奖颁奖大会在北京大学举行，中心教师都参加了会议。北京大学校长郝平与自然资源部总规划师吴海洋为荣获第十次李四光优秀学生奖获奖者颁奖。与会嘉宾、获奖学生、学生代表、教师代表约300人参加了颁奖大会。我院博士研究生任桂平和硕士研究生刘丽萍分别获得李四光优秀博士研究生奖和李四光优秀硕士研究生奖。

第十次李四光优秀学生奖颁奖大会在北京大学举行

2019-10-30 14:52:54 来源：新华网

让新闻离你更近

关注新华网

微信

微博

QQzone

0 评论



第十次李四光优秀学生奖颁奖大会在北京大学举行。

在李四光先生诞辰130周年纪念日之际，第十次李四光优秀学生奖颁奖大会在李四光先生曾任教的北京大学举行。

第十次李四光优秀学生奖共有21人获奖：其中获得李四光优秀博士研究生奖的共5人，分别来自中国地质大学（武汉）的吴亚飞、南京大学的魏广栋、中国地质大学（北京）的刘敬涛、北京大学的任桂平、中国地质科学院的季伟；获得李四光优秀硕士研究生奖的共6人，分别来自中国科学院大学的余坤、中国地质大学（北京）的韩晓丹、中国矿业大学（北京）的邢联国、中国科学院南京地质古生物研究所的付衍哲、北京大学的刘丽萍；获得李四光优秀大学生奖的共8人，分别来自中国地质大学（北京）刘余科、山东科技大学的赵恩坤、吉林大学的魏春鑫、中国矿业大学（北京）的兰春元、成都理工大学的朱晓耀；获得李四光优秀学生提名奖的共6人，分别是中国石油大学（北京）的陈鑫、中国地质大学（武汉）的王向东、中国石油大学（北京）的王珂、中国地质科学院的屠旭、西北大学的白璐、中国石油大学（北京）的宋天翔。

在颁奖大会上，第十次李四光优秀学生奖获奖者、北京大学任桂平博士作为获奖学生代表发言时表示，作为新一代地球科学工作者，唯有以更加开放的治学态度、打破常规的创新理念、同时秉承老一辈地质工作者求真务实的优良传统，才能顺应国际科学发展潮流，为我国在国际地球科学领域占得一席之地做出贡献。

李四光优秀学生奖从2010年设立至今，共表彰全国27所高校和科研院所的173名优秀学生，成为了我国地球科学领域为学生设立的最高奖项。

新华网对颁奖大会的报道

李四光地质科学奖基金会网站



李四光地质科学奖基金会网站对大会的报道

李四光优秀学生奖网站

李四光优秀学生奖



李四光优秀学生奖颁奖典礼暨表彰大会



2024年李四光优秀学生奖颁奖典礼暨表彰大会于近日在清华大学隆重举行。大会由清华大学党委学生工作部、清华大学学生会、清华大学研究生会联合主办。大会表彰了在学术科研、社会实践、志愿服务等方面表现突出的优秀学生。清华大学党委书记邱勇在讲话中勉励获奖同学再接再厉，为全面建设社会主义现代化国家贡献青春力量。

李四光优秀学生奖获得者风采展示

李四光优秀学生奖获得者风采展示。获奖同学包括：清华大学本科生、硕士生、博士生。他们在各自领域取得了卓越成就，展现了清华学子的风采。











李四光优秀学生奖获得者风采展示。获奖同学包括：清华大学本科生、硕士生、博士生。他们在各自领域取得了卓越成就，展现了清华学子的风采。



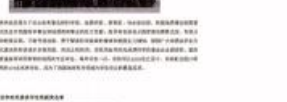


















李四光优秀学生奖获得者风采展示。获奖同学包括：清华大学本科生、硕士生、博士生。他们在各自领域取得了卓越成就，展现了清华学子的风采。

李四光优秀学生奖对大会的报道

(三) 其它对示范中心发展有重大影响的活动等。

1. 中国慕课大会

2019年4月9日教育部在北京召开中国慕课大会，中心郭艳军高级工程师、宋雪阳、程潇参加了会议，郭艳军高级工程师主持研发的《晶体形态分析及矿物鉴定虚拟仿真实验教学项目》获批国家虚拟仿真实验教学项目，会上，教育部党组成员、副部长钟登华为第二批国家精品在线开放课程认定结果和国家虚拟仿真实验教学项目负责人代表颁发证书。



图：国家虚拟仿真实验教学项目证书

2. 第一届中国地球科学大数据挖掘与人工智能挑战赛

2019年4月27日，“第一届中国地球科学大数据挖掘与人工智能挑战赛”颁奖典礼在广州中山大学举行，郭艳军老师指导的周哲(2015本)、刘小辉(2016本)、陈丹丘(2017本)、祝佳琪(2017本)、伍峻琦(2017本)获“第一届中国地球科学大数据挖掘与人工智能挑战赛”一等奖。



图：颁奖典礼现场（周哲 右五）

六、示范中心存在的主要问题

建设高水平的实验教学资源并进行开放共享，是一项长期的工作，不是一期项目就能解决所有的问题。本中心由于教学任务饱满、科研任务重、人才紧缺的情况下，存在以下两个主要问题：

1. “地球系统科学”综合性实践教学系统配套了相关学科室内和野外实践教学，需要进一步促进地球科学4个一级学科（地质学、地理学、地球物理学和大气科学）的交叉和融合。

2. 中心各课程、实验室和地质博物馆的教学资源丰富，需要进一步加强人力，对实物资源、课程资源等进行信息化，进一步提高实验教学资源的开放性和共享性。

七、所在学校与学校上级主管部门的支持

北京大学重视本科实践教学，将实验教学视为促进学生知识、能力、素质协调发展的基石和推动力，大力支持国家级实验教学中心的建设。学校为国家级实验教学中心平台建设提供专项资金，加大了国家级实验教学中心建设的投入力度，保证中心建设的可持续发展。中心还利用多种渠道支持实践教学改革立项、实验项目建设，中心的建设与运行经费得到了保障。

八、下一年发展思路

申请 2020 年北京大学本科教学改革-实践创新育人项目-空间磁场探测实践课程建设，将建设一系列空间磁场探测实验课程，主要内容是将空间磁场探测技术硬件和软件模块化，学生将各个模块组装起来，完成后可以进行磁场数据采集，交叉评价用 matlab 评价实验结果的好坏；将来可以自己设计制作一个模块。

注意事项及说明：

1. 文中内容与后面示范中心数据相对应，必须客观真实，避免使用“国内领先”“国际一流”等词。

2. 文中介绍的成果必须带有示范中心成员的署名。

3. 年度报告的表格行数可据实调整，不设附件，请做好相关成果支撑材料的存档工作。

4. 模板中涂红色部分较上年度有变化，请填写时注意。

第二部分 示范中心数据

(数据采集时间为 2019 年 1 月 1 日至 12 月 31 日)

一、示范中心基本情况

示范中心名称	地球科学国家级实验教学示范中心					
所在学校名称	北京大学					
主管部门名称	教育部					
示范中心门户网站	https://netdces.pku.edu.cn/index.htm					
示范中心详细地址	北京市海淀区颐和园路 5 号 逸夫贰楼			邮政编码	100871	
固定资产情况						
建筑面积	4367 m ²	设备总值	8560 万元	设备台数	3609 台	
经费投入情况						
主管部门年度经费投入 (直属高校不填)	万元	所在学校年度经费投入	580.5 万元			

注：(1) 表中所有名称都必须填写全称。(2) 主管部门：所在学校的上级主管部门，可查询教育部发展规划司全国高等学校名单。

二、师资队伍基本情况

(一) 本年度固定人员情况

序号	姓名	性别	出生年份	职称	职务	工作性质	学位	备注
1	潘懋	男	1954	正高级	主任	教学	硕士	博士生导师
2	涂传诒	男	1940	正高级		教学	硕士	院士，2001 年
3	张立飞	男	1963	正高级	副主任	教学	博士	长江学者
4	韩宝福	男	1960	正高级		教学	博士	博士生导师
5	郭召杰	男	1963	正高级		教学	博士	博士生导师
6	吴泰然	男	1955	正高级		教学	博士	博士生导师

7	张进江	男	1964	正高级	常务副 主任	教学	博士	博士生导师
8	李江海	男	1965	正高级		教学	博士	博士生导师
9	侯贵廷	男	1964	正高级		研究	博士	博士生导师
10	张志诚	男	1963	正高级		教学	博士	博士生导师
11	季建清	男	1968	正高级		教学	博士	博士生导师
12	刘树文	男	1958	正高级		教学	博士	博士生导师
13	关平	男	1960	正高级		教学	博士	博士生导师
14	魏春景	男	1962	正高级		教学	博士	博士生导师
15	朱永峰	男	1965	正高级		教学	博士	博士生导师
16	李文博	男	1976	副高级		教学	博士	
17	吴朝东	男	1965	正高级		教学	博士	博士生导师
18	传秀云	女	1965	正高级		教学	博士	博士生导师
19	黄宝春	男	1966	正高级		教学	博士	博士生导师
20	刘琼	女	1973	副高级		教学	博士	
21	秦善	男	1962	正高级		教学	博士	博士生导师
22	赖勇	男	1963	正高级		教学	博士	博士生导师
23	宋述光	男	1963	正高级		研究	博士	博士生导师
24	马学平	男	1960	正高级		教学	博士	博士生导师
25	孙元林	男	1961	正高级		教学	硕士	博士生导师
26	黄宝琦	女	1972	副高级		教学	博士	
27	江大勇	男	1969	正高级		教学	博士	博士生导师
28	刘建波	男	1966	正高级		教学	博士	博士生导师
29	王德明	男	1970	正高级		教学	博士	博士生导师
30	孙作玉	男	1976	副高级		教学	博士	
31	许成	男	1976	正高级		教学	博士	
32	何涛	男	1976	副高级		教学	博士	
33	张波	男	1978	副高级		教学	博士	
34	张贵宾	男	1979	副高级		教学	博士	
35	董琳	女	1980	副高级		教学	博士	
36	吕增	男	1981	副高级		教学	博士	
37	薛进庄	男	1981	副高级		教学	博士	
38	陈斌	男	1973	副高级		教学	博士	
39	谢伦	女	1973	副高级		教学	博士	

40	周仕勇	男	1962	正高级		教学	博士	博士生导师
41	秦其明	男	1955	正高级		教学	博士	博士生导师
42	李培军	男	1966	正高级		教学	博士	博士生导师
43	孙樯	男	1970	副高级		教学	博士	
44	田原	男	1972	副高级		教学	博士	
45	范闻捷	女	1972	副高级		教学	博士	
46	高勇	男	1974	副高级		教学	博士	
47	郭艳军	女	1980	副高级		技术	博士	
48	焦健	女	1960	副高级		教学	硕士	
49	邬伦	男	1964	正高级		教学	博士	博士生导师
50	崔莹	女	1986	中级		技术	硕士	
51	熊文涛	男	1988	中级		技术	硕士	
52	周敏	女	1988	中级		技术	博士	
53	邹鸿	男	1975	副高级		教学	博士	
54	施伟红	男	1969	副高级		技术	硕士	
55	谢伦	女	1973	副高级		教学	博士	
56	傅绥燕	女	1967	正高级		教学	博士	长江学者
57	柴彦威	男	1963	正高级		教学	博士	博士生导师
58	王红亚	男	1958	正高级		教学	博士	博士生导师
59	莫多闻	男	1955	正高级		教学	博士	博士生导师
60	周力平	男	1957	正高级		教学	博士	博士生导师
61	刘耕年	男	1963	正高级		教学	博士	博士生导师
62	李有利	男	1965	正高级		教学	博士	博士生导师
63	赵昕奕	女	1968	正高级		教学	博士	博士生导师
64	蒙吉军	男	1970	副高级		教学	博士	
65	邓辉	男	1964	正高级		教学	博士	博士生导师
66	童昕	男	1975	副高级		教学	博士	
67	张家富	男	1964	副高级		教学	博士	
68	李宜垠	女	1964	副高级		教学	博士	
69	赵柏林	男	1929	正高级		教学	学士	院士，1991年
70	胡永云	男	1965	正高级		教学	博士	博士生导师、 杰出青年基金 获得者，2010 年
71	孟智勇	女	1969	正高级		教学	博士	博士生导师、

								杰出青年基金获得者，2014年
72	杨海军	男	1972	正高级		教学	博士	博士生导师、杰出青年基金获得者，2017年
73	谭本馗	男	1957	正高级		教学	博士	博士生导师
74	钱维宏	男	1957	正高级		教学	博士	博士生导师
75	张宏升	男	1964	正高级		教学	博士	博士生导师
76	王洪庆	男	1965	正高级		教学	博士	博士生导师
77	张庆红	女	1967	正高级		教学	博士	博士生导师
78	赵春生	男	1968	正高级		教学	博士	博士生导师
79	付遵涛	男	1970	正高级		教学	博士	博士生导师
80	薛惠文	女	1971	正高级		教学	博士	博士生导师
81	李万彪	男	1967	副高级		教学	博士	博士生导师
82	李成才	男	1969	副高级		教学	博士	博士生导师
83	傅宗玫	女	1978	副高级		教学	博士	博士生导师
84	林金泰	男	1982	副高级		教学	博士	博士生导师
85	刘永岗	男	1979	中级		教学	博士	博士生导师
86	张霖	男	1983	中级		教学	博士	博士生导师
87	李婧	女	1984	中级		教学	博士	博士生导师
88	聂绩	男	1984	中级		教学	博士	博士生导师
89	韦骏	男	1976	正高级		教学	博士	博士生导师
90	杨军	男	1984	正高级		教学	博士	博士生导师
91	刘晓阳	男	1962	副高级		教学	博士	
92	辛国君	男	1964	副高级		教学	博士	
93	赵强	男	1968	副高级		教学	博士	
94	闻新宇	男	1979	副高级		教学	博士	
95	梁福明	男	1965	中级		教学	博士	
96	张焱	女	1958	副高级		教学	硕士	
97	杨爽	女	1981	中级		管理	硕士	
98	刘美景	女	1986	中级		管理	硕士	
99	胡天跃	男	1963	正高级		教学	博士	博士生导师，2002年
100	张献兵	男	1974	中级		技术	硕士	

注：（1）固定人员：指经过核定的属于示范中心编制的人员。（2）示范中心职务：示范中心主任、副主任。（3）工作性质：教学、技术、管理、其他。（4）学位：博士、硕士、学士、其他，一般以学位证书为准。（5）备注：是否院士、博士生导师、杰出青年基金获得者、长江学者等，获得时间。

（二）本年度兼职人员情况

序号	姓名	性别	出生年份	职称	职务	工作性质	学位	备注
1								

注：（1）兼职人员：指在示范中心内承担教学、技术、管理工作的非中心编制人员。（2）工作性质：教学、技术、管理、其他。（3）学位：博士、硕士、学士、其他，一般以学位证书为准。（4）备注：是否院士、博士生导师、杰出青年基金获得者、长江学者等，获得时间。

（三）本年度流动人员情况

序号	姓名	性别	出生年份	职称	国别	工作单位	类型	工作期限
1	蔡宸	男	1989	博士后	中国	北京大学 物理学院 大气与海洋科学系	中心 进修 学习	201704-201904
2	管健	男	1985	博士后	中国	北京大学 物理学院 大气与海洋科学系	中心 进修 学习	201801-202001
3	杜鸣溪	男	1993	博士后	中国	北京大学 物理学院 大气与海洋科学系	中心 进修 学习	201807-202007
4	戴攀曦	女	1991	博士后	中国	北京大学 物理学院 大气与海洋科学系	中心 进修 学习	201807-202007
5	焦小淼	男	1988	博士后	中国	北京大学 物理学院 大气与海洋科学系	中心 进修 学习	201809-202009

注：（1）流动人员：指在中心进修学习、做访问学者、行业企业人员、海内外合作教学人员等。（2）工作期限：在示范中心工作的协议起止时间。

(四) 本年度教学指导委员会人员情况

序号	姓名	性别	出生年份	职称	职务	国别	工作单位	类型	参会次数
1	潘懋	男	1954	正高级	主任委员	中国	北京大学	校内专家	1
2	张进江	男	1964	正高级	委员	中国	北京大学	校内专家	1
3	胡天跃	男	1963	正高级	委员	中国	北京大学	校内专家	1
4	周力平	男	1957	正高级	委员	中国	北京大学	校内专家	1
5	付遵涛	男	1970	正高级	委员	中国	北京大学	校内专家	1
6	王尚旭	男	1962	正高级	委员	中国	中国石油大学(北京)	外校专家	1
7	张卫国	男	1971	正高级	委员	中国	华东师范大学	外校专家	1
8	赵传峰	男	1977	正高级	委员	中国	北京师范大学	外校专家	1
9	高杰	男	1981	其它	委员	中国	北京曼恒数字技术有限公司	企业专家	1

注：(1) 教学指导委员会类型包括校内专家、外校专家、企业专家和外籍专家。(2) 职务：包括主任委员和委员两类。(3) 参会次数：年度内参加教学指导委员会会议的次数。

三、人才培养情况

(一) 示范中心实验教学面向所在学校专业及学生情况

序号	面向的专业		学生人数	人时数
	专业名称	年级		
1	地质学	2016	116	3712
2	地球化学	2016	41	1312
3	地球物理学	2016	66	1452

4	地理信息科学	2016	59	1121
5	空间科学与技术	2016	98	2352
6	地理科学	2016	63	1008
7	资源环境与城乡规划管理	2016	151	1963
8	大气科学	2016	28	336

注：面向的本校专业：实验教学内容列入专业人才培养方案的专业。

（二）实验教学资源情况

实验项目资源总数	186 个
年度开设实验项目数	93 个
年度独立设课的实验课程	10 门
实验教材总数	2 种
年度新增实验教材	0 种

注：（1）实验项目：有实验讲义和既往学生实验报告的实验项目。（2）实验教材：由中心固定人员担任主编、正式出版的实验教材。（3）实验课程：在专业培养方案中独立设置学分的实验课程。

（三）学生获奖情况

学生获奖人数	7 人
学生发表论文数	4 篇
学生获得专利数	1 项

注：（1）学生获奖：指导教师必须是中心固定人员，获奖项目必须是相关项目的全国总决赛以上项目。（2）学生发表论文：必须是在正规出版物上发表，通讯作者或指导老师为中心固定人员。（3）学生获得专利：为已批准专利，中心固定人员为专利共同持有人。

四、教学改革与科学研究情况

(一) 承担教学改革任务及经费

序号	项目/课题名称	文号	负责人	参加人员	起止时间	经费（万元）	类别
1	晶体形态分析及矿物鉴定虚拟仿真实验教学项目	2019JG01	郭艳军	秦善, 张进江, 陈斌, 李梅, 吴泰然, 张志诚, 孙敏, 陈萍*, 崔莹, 熊文涛, 周敏, 耿金达, 赖清楠*, 宋雪阳*, 程潇*, 李灵慧*, 程思雨*, 李佳斌, 王筱煜, 王勇#, 侯利智#, 施玉斌#, 刘双涛#, 姬亮#	2019.1-2019.12	20	a
2	冀北辽西普通地质学野外实习基地建设	2019JG03	张志诚	/	2019.3-2020.3	15	a
3	北京周边野外地质示范基地建设	2019JG03	崔莹	/	2019.3-2020.3	8	a
4	《3S 野外综合实习》核心课程建设	2019JG03	田原	/	2019.3-2020.3	5	a
5	数据结构与算法 B 课程建设	2019JG03	陈斌	/	2019.3-2020.3	5	a
6	三维思维——激光雷达遥感教学创新与实践	2019JG03	林沂	/	2019.3-2020.3	5	a
7	地质地球物理联合实习课程初步建设	2019JG03	宁杰远	/	2019.3-2020.3	10	a

8	基于 R 语言的古生物学实践课程建设	2019JG03	熊文涛	/	2019.3-2020.3	5	a
9	本科教学五台实习	2019JG07	张进江	魏春景、张波、张贵宾、陈斌、孙元林、刘建波、薛进庄、熊文涛；(本科生 27 人；南方科大：11 人；教师：9 名)	2019.7-2019.8	17.5	a
10	教育部修购基金	2019XG01	张进江	赖勇、郭艳军、陈斌、崔莹、熊文涛、于向前、朱永峰、胡天跃、陈斌、周力平、李成才	2019.1-2019.12	300	a
11	北京大学“教学改革”项目	2019JG03	张进江	季建清、郝永强、田原、陈斌、郭艳军、崔莹、熊文涛	2019.3-2019.12	190	a

注：（1）此表填写省部级以上教学改革项目（课题）名称：项目管理部门下达的有正式文号的最小一级子课题名称。（2）文号：项目管理部门下达文件的文号。（3）负责人：必须是中心固定人员。（4）参加人员：所有参加人员，其中研究生、博士后名字后标注*，非本中心人员名字后标注#。（5）经费：指示范中心本年度实际到账的研究经费。（6）类别：分为 a、b 两类，a 类课题指以示范中心为主的课题；b 类课题指本示范中心协同其他单位研究的课题。

(二) 承担科研任务及经费

序号	项目/课题名称	文号	负责人	参加人员	起止时间	经费（万元）	类别
1	碳酸盐岩复杂波场正演模拟方法研究	国家科技重大专项 2016ZX05004003-00 8	胡天跃	张献兵	201601-202012	80.45	a
2	非线性成像理论与方法技术研究	国家重点研发计划 2018YFA0702503	胡天跃		201901-202412	218	a
3	基于 Marchenko 方程的数据驱动一次波和层间多次波成像研究	国家自然科学基金 41674122	胡天跃		201701-202012	82.62	a
4	北京市国土规划元数据服务平台	20180049	田原	田原	201802-201902	11.15	b
5	天津市和平区贯彻落实网络强市战略工作方案	20180431	陈秀万	陈秀万	201806-201906	19.8	b
6	准噶尔盆地南缘东段典型油藏解剖和成藏控藏因素分析	20180459	吴朝东	吴朝东	201811-201906	119	b

7	卫星遥感技术在财产保险理赔科技定损中的运用	20180511	洪阳	洪阳	201811-201906	15	b
8	注入流体前缘监测前瞻技术研究	20180575	何川	何川	201811-201906	28	b
9	中亚地区石炭-二叠系含油气盆地油气地质特征差异性对比研究	20190189	李江海	李江海	201904-201907	25	b
10	《人工智能与信息社会》慕课	20190243	陈斌	陈斌	201904-201907	6	b
11	七东1区强非均质砾岩油藏不同渗流介质改善开发效果策略与措施优化研究	20180529	师永民	师永民	201808-201908	119.3	b
12	尕斯库勒油田 E31 油藏储层非均质性精细研究	20190114	刘波	刘波	201901-201908	99	b
13	古地磁测试分析技术服务合同——南海浅层钻探	20190347	常燎	常燎	201908-201908	14.3	b

14	四川盆地周缘地区古老烃源岩系沉积古环境恢复及对比研究	20190091	董琳	董琳	201811-201909	47.8	b
15	极坐标软件匹配无人机监测系统	20180426	晏磊	晏磊	201810-201910	15	b
16	航空中红外高光谱温度和发射率分离技术研究	20180370	任华忠	任华忠	201809-201910	15	b
17	三塘湖盆地致密油机理研究实验	20180571	师永民	师永民	201811-201911	26.15	b
18	有机-无机复合作用对深层油气成藏的影响——烃源岩样品	20180572	孙作玉	孙作玉	201805-201911	4.455	b
19	复合体系与储层相互作用及反应机理研究	20180325	鲁安怀	鲁安怀	201802-201911	79.28	b
20	地表和地表温度敏感性分析和仿真计算分析	20190475	任华忠	任华忠	201911-201911	10.8	b
21	超慢速扩张洋中脊岩浆迁移及其动力学机制研究	20180550	李江海	李江海	201901-201912	4	b

22	柴达木盆地不同类型碳酸盐岩成储特征及有利展布规律	20190113	刘波	刘波	201901-201912	47.725	b
23	神经胶质瘤病变钙化病理性矿物多类光谱图采集与分析	20190151	李艳	李艳	201904-201912	5	b
24	面向机器学习的矿物样品多源信号采集与数据清洗	20190207	李艳	李艳	201906-201912	6	b
25	dxkStick Python 语言教学套件	20190252	李梅	李梅	201907-201912	46	b
26	水源地生态安全评价技术与实践策略	20190264	范闻捷	范闻捷	201907-201912	25	b
27	榆神四期矿区高质量开发绿色智慧矿区专题——榆神四期矿区高质量开发总体模式研究	20190295	毛善君	毛善君	201906-201912	25	b
28	深部结构观测系统	20190297	ZHAOLI	ZHAOLI	201908-201912	15	b
29	防风固沙区生态系统功能评估	20190309	范闻捷	范闻捷	201908-201912	20	b

30	巷聚应用程序设计与技术咨询	20190360	高勇	高勇	201906-201912	10	b
31	森林区无人机高光谱遥感影像获取与处理	20190361	范闻捷	范闻捷	201904-201912	6.3	b
32	塔中4油田CIII油组隔夹层空间展布及其对油气水渗流影响研究	20180528	潘懋	潘懋	201808-202001	170	b
33	水面桥梁与岸边垃圾深度学习样本制作	20190488	万玮	万玮	201911-202003	30	b
34	鄂尔多斯地区奥陶系白云岩储层成因机理及实验研究	20190245	刘波	刘波	201812-202006	78.2	b
35	19 淮南前陆西段侏罗系——白垩系规模储层综合评价	20190322	吴朝东	吴朝东	201907-202006	116.7	b
36	伊拉克 Ahdeb 油田下部层系主力油藏碳酸盐岩微相及储层非均质性研究	20190395	石开波	石开波	201910-202006	92.24	b
37	海原-六盘山断裂带宽频带地震台阵观测与三维精细结构研究	20180383	周仕勇	周仕勇	201808-202008	48	b

38	GNSS-R 遥感典型陆表要素探测与卫星组网设计	20190476	万玮	万玮	201909-202009	8	b
39	教育部产学研合作协同育人项目合作协议	20190391	郭艳军	郭艳军	201910-202010	3	b
40	中热红外大气校正软件模块开发	20190203	任华忠	任华忠	201906-202012	30	b
41	一带一路灾害风险评估指标研究设计	20190372	洪阳	洪阳	201910-202012	20	b
42	裂谷盆地成因机理及国内外裂谷盆地对比研究	20190524	李江海	李江海	201912-202012	85	b
43	铀辐射作用下干酪根有机分子结构演化模式及机理研究	20190317	吴朝东	吴朝东	201908-202107	49	b
44	太赫兹光谱矿物材料研发与治理环境污染应用	20180348	鲁安怀	鲁安怀	201808-202108	300	b
45	“一带一路”沿线区域土壤湿度重建与降尺度	20180532	崔要奎	崔要奎	201812-202112	19	b

46	高分辨率多波段热红外数据处理加工	20190236	任华忠	任华忠	201907-202112	15	b
47	重大自然灾害损失快速评估模型测试	20180410	杜世宏	杜世宏	201808-202206	18	b
48	基于卫星遥感的水体水质大面积实时监测技术研发	20190365	洪阳	洪阳	201912-202212	105	b
49	中国北方中-古生界勘探潜力评价与区块优选	20190370	张志诚	张志诚	201908-202912	260	b

注：此表填写省部级以上科研项目（课题）。

(三) 研究成果

1. 专利情况

序号	专利名称	专利授权号	获准国别	完成人	类型	类别
1	一种用于天然气水合物温压监测系统的总控装置	CN208996726U	国内专利	何涛	实用新型	合作完成-第一人
2	一种光纤温压测量短节	CN208996719U	国内专利	何涛	实用新型	合作完成-第一人
3	一种微细鳞片无硫膨胀石墨的微波化学制备方法	CN106430178B	国内专利	传秀云	发明授权	合作完成-第一人
4	一种手套箱有害废气闭路循环处理装置	CN208678755U	国内专利	李艳	实用新型	合作完成-第一人
5	一种水冷、风冷复合循环的光源冷却系统	CN209130833U	国内专利	李艳	实用新型	合作完成-第一人
6	一种光催化-微生物燃料电池污水处理复合装置	CN208471684U	国内专利	李艳	实用新型	合作完成-第一人

7	一种聚多曲霉及其应用	CN105802861B	国内专利	郝瑞霞	发明授权	合作完成-第一人
8	探测空间粒子可变采样快门时间的采样方法、系统及设备	ZL201810824461.9	国内专利	陈鸿飞	发明授权	合作完成-第一人
9	一种中能电子探测器一体化设计探测探头	201711065751.1	国内专利	邹鸿	发明授权	合作完成-第一人
10	星上数据采集处理方法、系统以及空间粒子探测器	201810239613.9	国内专利	邹鸿	发明授权	合作完成-第一人
11	空间粒子探测器及其星上数据处理方法	201810239403.X	国内专利	邹鸿	发明授权	合作完成-第一人
12	陆地地震勘探资料的剩余静校正量的自动获取方法	ZL201710311134.9	国内专利	胡天跃	发明专利	合作完成-第一人
13	GPU 并行三维地震波场生成方法及其系统	ZL201710037485.5	国内专利	胡天跃	发明专利	合作完成-第一人
14	一种基于高分辨率图像的道路路域建筑物变化提取方法	CN106683112B	国内专利	李培军	发明授权	合作完成-第一人

15	用于透明化矿山的构建方法	ZL 201711339845.3	国内专利	毛善君	发明授权	合作完成-第二人
16	煤矿分布式协同一张图系统及协同管理方法	ZL201711338644.1	国内专利	毛善君	发明授权	合作完成-第二人
17	融合无人机 LIDAR 和高分影像的路面平整度监测方法	ZL201710257172.0	国内专利	张显峰	发明授权	合作完成-第一人
18	面向植物表型的激光扫描与深度成像组合移动式近感系统	ZL2018208757511	国内专利	林沂	实用新型	合作完成-第一人
19	民用机场地形特征对飞行超限事件影响的分析方法	ZL201611029945.1	国内专利	刘岳峰	发明授权	合作完成-第一人
20	一种无人机多光谱影像快速拼接方法	201710552651.5	国内专利	孙敏	发明授权	合作完成-第一人

注：（1）国内外同内容的专利不得重复统计。（2）专利：批准的发明专利，以证书为准。（3）完成人：所有完成人，排序以证书为准。（4）类型：其他等同于发明专利的成果，如新药、软件、标准、规范等，在类型栏中标明。（5）类别：分四种，独立完成、合作完成-第一人、合作完成-第二人、合作完成-其他。如果成果全部由示范中心固定人员完成的则为独立完成。如果成果由示范中心与其他单位合作完成，第一完成人是示范中心固定人员则为合作完成-第一人；第二完成人是示范中心固定人员则为合作完成-第二人，第三及以后完成人是示范中心固定人员则为合作完成-其他。（以下类同）

2. 发表论文、专著情况

序号	论文或专著名称	作者	刊物、出版社名称	卷、期（或章节）、页	类型	类别
1	Spherical multifocusing method for irregular topography	Dingyue Chang, Cai Zhang, Tianyue Hu*, and Dan Wang	Geophysics	84(4):V233-V243	SCI(E)	合作完成—第一人
2	初至拾取中基于超级虚折射干涉的信号加强	梁上林, 胡天跃*, 崔栋, 胡英, 张研	石油物探	58(4):509-516	北大中核心	合作完成—第一人
3	Carbon and health implications of trade restrictions	Jintai Lin, Mingxi Du, Lulu Chen, etc.	Nature Communications	10, 4947	SCI(E)	合作完成—第一人
4	Air pollution-induced missed abortion risk for pregnancies	Liqiang Zhang, Weiwei Liu, Kun Hou, Jintai Lin, etc.	Nature Sustainability	2, 1011-1017	SCI(E)	合作完成—其他
5	Air pollution exposure associates with increased risk of neonatal jaundice	Liqiang Zhang, Weiwei Liu, Kun Hou, Jintai Lin, etc.	Nature Communications	10, 3741	SCI(E)	合作完成—其他

6	Transition from eyeball to snowball driven by sea-ice drift on tidally locked terrestrial planets	Jun Yang, Weiwen Ji, Yaoxuan Zeng	Nature Astronomy	4, 58-66	SCI (E)	合作完成—第一人
7	Platinum-group minerals and Fe-Ni minerals in the Sartohay podiform chromitite (west Junggar, China): Implications for T-pH-fO ₂ -fS ₂ conditions during hydrothermal alteration.	朱永峰	Ore Geology Reviews	112, 103, 020	SCI (E)	合作完成—第一人
8	Dynamic modeling of Meiping landslide process	赵永红	Nat Hazards	(2019)96:879.	SCI (E)	合作完成—第一人
9	Tourmaline geochemistry and boron isotopic variations as a guide to fluid evolution in the Qiman Tagh W-Sn belt, East Kunlun, China	陈衍景	Geoscience Frontiers	10, 569-580	SCI (E)	合作完成—第一人
10	融合粗糙深度信息的低纹理物体偏振三维重建	赵红颖	红外与毫米波学报	1001-9014	SCI (E)	合作完成—第一人
11	Magmatic oxidation state of the Baogutu porphyry copper deposit in the west Junggar of China: Implication for ore-formation.	朱永峰	Ore Geology Reviews	106, 351-368	SCI (E)	合作完成—第一人

12	Magma chamber and crustal channel flow structures in the Tengchong volcano area from 3D MT inversion at the intra-continental block boundary southeast of the Tibetan Plateau	黄清华	Journal of Geophysical Research - Solid Earth	123, 11112-11126, doi:10.1029/2018JB015936	SCI (E)	合作完成—第一人
13	An in situ preserved Early Carboniferous (Serpukhovian) brachiopod community in Southern Guizhou, China	孙元林	Riv It Paleont Strat	125(3):663-684, 2019/11	SCI (E)	合作完成—第一人
14	Scattering Effect Contributions to the Directional Canopy Emissivity and Brightness Temperature Based on CE-P and CBT-P Models.	范闻捷	IEEE Geoscience and Remote Sensing Letters	16(6):957-961.	SCI (E)	合作完成—第一人
15	Mechanism of gold precipitation in the Gezigou gold deposit, Xinjiang, NW China: Evidence from fluid inclusions and thermodynamic modeling	朱永峰	Journal of Geochemical Exploration	199, 60 - 74	SCI (E)	合作完成—第一人
16	Structural, optical and thermal properties of Cs ₂ SnI ₆ -xBr _x mixed perovskite solid solutions	秦善	European Journal of Inorganic Chemistry	2019, 2019, 2524-2529	SCI (E)	合作完成—第一人

17	Deformation field around a thrust fault: A comparison between laboratory results and GPS observations of the 2008 Wenchuan earthquake.	赵永红	Earth and Planetary Physics.	2019, 3(6): 501-509	SCI (E)	合作完成—第一人
18	Thermal expansibility and compressibility of prehnite and its geological implications	秦善	Acta Petrologica Sinica	2019, 35(1), 146-152	SCI (E)	合作完成—第一人
19	Pressure-induced dehydration of diopside: A single-crystal X-ray diffraction and Raman spectroscopy study	秦善	Comptes Rendus Geosciences	2019, 351, 121-128	SCI (E)	合作完成—第一人
20	Compressibility of natural schreibersite up to 50 GPa	秦善	Physics and Chemistry of Minerals	2019, 46, 91-99	SCI (E)	合作完成—第一人
21	Sintering behavior and technological properties of low-temperature porcelain tiles prepared using a lithium ore and silica crucible waste	秦善	Minerals	2019, 9, 731-1~16	SCI (E)	合作完成—第一人
22	Seismicity pattern changes prior to the 2008 Ms7.3 Yutian earthquake	黄清华	Entropy	21(2), 118, doi: 10.3390/e21020118	SCI (E)	合作完成—第一人

23	Constraints on the resistivity of the oceanic lithosphere and asthenosphere from seafloor ocean tidal electromagnetic measurements	黄清华	Geophysical Journal International	219(1),464-478, doi:10.1093/gji/ggz315	SCI(E)	合作完成—第一人
24	Discovery of Huronian Glaciation Event in China: Recognition of glacial diamictites in Hutuo Group in Wutai Shan, Shanxi.	陈衍景	Precambrian Research	320,1-12.	SCI(E)	合作完成—第一人
25	Neoproterozoic magmatic arc in the Western Liaoning Province, northern North China Craton: Geochemical and isotopic constraints from sanukitoids and associated granitoids	刘树文	LITHOS	322:296-311	SCI(E)	合作完成—第一人
26	Precambrian Hongqiyangzi Complex at the northern margin of the North China Craton: Its zircon U-Pb-Hf systematics, geochemistry and constraints on crustal evolution	刘树文	PRECAMBRIAN RESEARCH	326(SI):58-83	SCI(E)	合作完成—第一人

27	Metamorphic P-T paths and Zircon U-Pb ages of Paleoproterozoic metabasic dykes in eastern Hebei and northern Liaoning: Implications for the tectonic evolution of the North China Craton	魏春景	Precambrian Research	326:124 - 141	SCI (E)	合作完成—第一人
28	Neoarchean granitoid gneisses in Eastern Hebei, North China Craton: Revisited.	魏春景	Precambrian Research	326:124 - 141	SCI (E)	合作完成—第一人
29	A Neoarchean K-rich granitoid belt in the northern North China Craton	刘树文	PRECAMBRIAN RESEARCH	328:193-216	SCI (E)	合作完成—第一人
30	Petrogenesis of the Neoarchean granitoids and crustal oxidation states in the Western Shandong Province, North China Craton	刘树文	PRECAMBRIAN RESEARCH	334: 105446	SCI (E)	合作完成—第一人
31	大氧化事件在山西滹沱群中的记录: 碳酸盐岩碳同位素资料分析	陈衍景	岩石学报	34(12):3709-3720	SCI (E)	合作完成—第一人
32	Diverse middle Neoarchean granitoids and the delamination of thickened crust in the Western Shandong Terrane, North China Craton	刘树文	LITHOS	348-349:105178	SCI (E)	合作完成—第一人

33	Magmatic plumbing system beneath a fossil continental arc volcano in western Tianshan (NW China): Constraints from clinopyroxene and thermodynamic modelling.	朱永峰	Lithos	350-351,105221	SCI (E)	合作完成—第一人
34	Ultra-high temperature (UHT) metamorphism of mafic granulites from South Altyn Orogen, West China: a result from the rapid exhumation of deeply subducted continental crust	魏春景	Journal of Metamorphic Geology	37:315-338	SCI (E)	合作完成—第一人
35	A Ca. 2.8-Ga Plume-Induced Intraoceanic Arc System in the Eastern North China Craton	刘树文	TECTONICS	38(5):1694-1717	SCI (E)	合作完成—第一人
36	Phase Relations in metabasic rocks: constraints from the results of experiments, phase modelling and ACF analysis.	魏春景	Geological Society London Special Publications	474,25 - 45	SCI (E)	合作完成—第一人
37	Harzburgite found in the Hegenshan ophiolite, southeastern Central Asian Orogenic Belt: Petrogenesis and geological implications.	朱永峰	Gondwana Research	63:28-46	SCI (E)	合作完成—第一人

38	Neoproterozoic crust-mantle interactions in the Yishui Terrane, southeastern margin of the North China Craton: Constraints from geochemistry and zircon U-Pb-Hf isotopes of metavolcanic rocks and high-K granitoids	刘树文	GONDWANA RESEARCH	65:97-124	SCI (E)	合作完成—第一人
39	Neoproterozoic sanukitoids and associated rocks from the Tengzhou-Pingyi intrusive complex, North China Craton: Insights into petrogenesis and crust-mantle interactions.	刘树文	GONDWANA RESEARCH	68:50-68	SCI (E)	合作完成—第一人
40	Thickness and geothermal gradient of Neoproterozoic continental crust: Inference from the southeastern North China Craton	刘树文	GONDWANA RESEARCH	73:16-31	SCI (E)	合作完成—第一人
41	Petrogenesis and tectonic implications of the late Carboniferous calc-alkaline and shoshonitic magmatic rocks in the Awulale mountain, western Tianshan	朱永峰	Gondwana Research	76, 44 - 61	SCI (E)	合作完成—第一人
42	Ultrahigh-temperature mafic granulite in the Huai'an Complex, North China Craton: Evidence from phase equilibria modelling and amphibole thermometers.	魏春景	Gondwana Research	76:62 - 76	SCI (E)	合作完成—第一人

43	New data on the biostratigraphy of the Early Devonian "Spirifer" tonkinensis brachiopod fauna in South China and adjacent region.	孙元林	Palaeobioiversity and Palaeoenvironments	99:29 - 43. 2019/2	SCI (E)	合作完成—第一人
44	A three-hierarchy evaluation of polarimetric 2 performance of GF-3, compared with ALOS-3 2/PALSAR-2 and RADARSAT-2,	曾琪明	Sensors	DOI:103390/s19071493	SCI (E)	合作完成—第一人
45	Geochronology and origin of the Q189 porphyry gold deposit in Qiyugou Orefield, Qinling Orogen, China	陈衍景	Ore Geol	Rev. 114, 103121	SCI (E)	合作完成—第一人
46	Identification of lateral inhomogeneity of arc basement by reconstructing the Late Devonian arc belt in the southwestern Central Asian Orogenic Belt	韩宝福	Journal of Geodynamics	vol. 132, Article101668	SCI (E)	合作完成—第一人
47	Ediacaran to Paleozoic magmatism in West Junggar Orogenic Belt, NW China, and implications for evolution of Central Asian Orogenic Belt	韩宝福	Lithos	vol. 338 - 339: pp. 111-127	SCI (E)	合作完成—第一人

48	Non-negative sparse subspace clustering by orthogonal matching pursuit	白志强	Electronics Letters	2019, 56(3). DOI: 10.1049/el.2019.3066	SCI(E)	合作完成—第一人
49	Micromagnetic simulation of magnetofossils with realistic size and shape distributions: Linking magnetic proxies with nanoscale observations and implications for magnetofossil identification	常燎	Earth and Planetary Science Letters	第 527 卷, 2019 年 12 月 doi: 10.1016/j.epsl.2019.115790	SCI(E)	合作完成—第一人
50	A Strategy to Stabilize 4 V-class Cathode with Ether-containing Electrolytes in Lithium Metal Batteries	传秀云	Journal of Power Sources	2019 年 11 月第 4 期, DOI:10.1016/j.jpowsour.2019.227101	SCI(E)	合作完成—第一人
51	Early animal evolution and highly oxygenated seafloor niches hosted by microbial mats.	董琳	SCIENTIFIC REPORTS	(2019) 9:13628, DOI:10.1038/s41598-019-49993-2	SCI(E)	合作完成—第一人

52	Modelling spectral uncertainty of geographic features in high resolution remote sensing image: A semi-supervising and weighted interval type-2 fuzzy C-Means clustering	杜世宏	Remote Sensing	11(15): 1750 (2019)	SCI(E)	合作完成—第一人
53	3D Model Backprojection of the 2017 Mw8.2 Chiapas Earthquake: A Two - Stage Rupture with a Barrier - Induced Velocity Increase	盖增喜	Seismological Research Letter	DOI: 10.1785/0220180268	SCI(E)	合作完成—第一人
54	Extracting Spatial Patterns of Intercity Tourist Movements from Online Travel Blogs	高勇	Sustainability	2019, 11(13), 3526; https://doi.org/10.3390/su11133526	SCI(E)	合作完成—第一人
55	Relationship between the Altyn Tagh strike-slip fault and the Qaidam Basin: New insights from superposed buckle folding in Hongsanhan	郭召杰	International Geology Review	2019(1):1-11. DOI: 10.1080/00206814.2019.1661039	SCI(E)	合作完成—第一人

56	Improving Immobilization of Pb (II) Ions by <i>Aspergillus niger</i> Cooperated with Photoelectron by Anatase Under Visible Light Irradiation.	郝瑞霞	Geomicrobiology Journal	DOI: 10.1080/01490451.2019.1594464	SCI (E)	合作完成—第一人
57	Single crest phenomenon in the equatorial ionospheric anomaly region and its longitudinal distribution caused by nonmigrating tides	郝永强	Chinese Journal of Geophysics	62(11): 4067-4081,doi: 10.6038/cjg2019M0645	SCI (E)	合作完成—第一人
58	Composition of Wave Modes in Magnetosheath Turbulence from Sub-ion to Sub-electron Scales	何建森	The Astrophysical Journal	878(1):48, DOI: 10.3847/1538-4357/ab1be7	SCI (E)	合作完成—第一人
59	Construct Channel Network Topology from Remote Sensing Images by Morphology and Graph Analysis	洪阳	IEEE JRSL	PP(99):1-5, DOI: 10.1109/LGRS.2019.2942107	SCI (E)	合作完成—第一人
60	Channel flow and fault segmentation with implications for the generation of earthquakes in the Longmenshan fault zone, eastern Tibetan Plateau	侯贵廷	Journal of Asian Earth Sciences	第 177 篇, DOI: 10.1016/j.jseaes.2019.03.012	SCI (E)	合作完成—第一人

61	Neotectonic Deformation in the Southwestern Tian Shan, Western China: Evidence From Paleomagnetic Study of Quaternary Sediments From the Mingyaole Anticline	黄宝春	Tectonics	https://doi.org/10.1029/2018TC005369	SCI (E)	合作完成—第一人
62	Building a Model-based Personalised Recommendation Approach for Tourist Attractions From Geotagged Social Media Data	黄舟	International Journal of Digital Earth	DOI: 10.1080/17538947.2018.1471104	SCI (E)	合作完成—第一人
63	Extraction of Earthquake-Induced Collapsed Buildings From Bi-Temporal VHR Images Using Object-Level Homogeneity Index and Histogram,	李培军	IEEE Journal of Selected Topics In Applied Earth Observations And Remote Sensing	12(8): 2755-2770 (2019), DOI: 10.1109/JSTARS.2019.2904670	SCI (E)	合作完成—第一人
64	Neoproterozoic-Paleoproterozoic magmatic arc evolution in the Wutai-Hengshan-Fuping area, North China Craton: New perspectives from zircon U-Pb ages and Hf isotopic data.	李秋根	Precambrian Research	2019年, 331卷, DOI: 10.1016/j.precamres.2019.105368	SCI (E)	合作完成—第一人

65	Chemical and boron isotope compositions of tourmaline in the Hadamiao porphyry gold deposit, Inner Mongolia, China	李文博	Chemical Geology	DOI: 10.1016/j.chemgeo.2019.04.029	SCI (E)	合作完成—第一人
66	Influence of heavy metal sorption pathway on the structure of biogenic birnessite: Insight from the band structure and photostability	李艳	Geochimica et Cosmochimica Acta	256 期号:-页 码:116-134, DOI 10.1016/j.gca.2018.12.008	SCI (E)	合作完成—第一人
67	Characterizing ecosystem phenological diversity and its macroecology with snow cover phenology	林沂	Scientific Reports	DOI: 10.1038/s41598-019-51602-1	SCI (E)	合作完成—第一人
68	Connecting the marine red beds with the onset of the Great Ordovician Biodiversification Event: A case study from the Laojianshan Formation of western Yunnan, Sibumasu Massif	刘建波	Palaeoworld	DOI: 10.1016/j.palwor.2018.04.003	SCI (E)	合作完成—第一人
69	Theoretical models and determination methods for equations of state of silicate melts: A review	刘琼	Science China Earth Sciences	2019, 062(005):P. 751-770.	SCI (E)	合作完成—第一人

70	Fundamental infrared absorption features of α -quartz: An unpolarized single-crystal absorption infrared spectroscopic study	刘曦	Vibrational Spectroscopy	2019, 101. DOI: 10.1016/j.vibspec.2019.02.003	SCI (E)	合作完成—第一人
71	An extended exploration and preferential return model for human mobility simulation at individual and collective levels	刘瑜	Physica A: Statistical Mechanics and its Applications	Volume 534, 15 November 2019, 121921. https://doi.org/10.1016/j.physa.2019.121921	SCI (E)	合作完成—第一人
72	Dynamic Recommendation of POI Sequence Responding to Historical Trajectory	刘岳峰	International Journal of Geo-Information	2019, 8(10):433. DOI: 10.3390/ijgi8100433	SCI (E)	合作完成—第一人
73	Extracellular Electron Transfer Between Birnessite and Electrochemically Active Bacteria Community from Red Soil in Hainan, China	鲁安怀	Geomicrobiology Journal	169-178, DOI: 10.1080/01490451.2018.1526986	SCI (E)	合作完成—第一人
74	Ultrahigh-pressure and high-P lawsonite eclogites in Muzhaerte, Chinese western Tianshan	吕增	Journal of Metamorphic Geology	DOI: 10.1111/jmg.12482	SCI (E)	合作完成—第一人

75	Origination and diversification of Devonian ambocoelioid brachiopods in South China	马学平	Palaeobiodiversity and Palaeoenvironments	第 99 卷, 第 63-90 页 (2019 年), DOI: 10.1007/s12549-018-0333-4	SCI (E)	合作完成—第一人
76	A Tightly Coupled GIS and Spatiotemporal Modeling for Methane Emission Simulation in the Underground Coal Mine System.	毛善军	applied science	2019, 9(9):1931. DOI: 10.3390/app9091931	SCI (E)	合作完成—第一人
77	Petrel2ANSYS: Accessible software for simulation of crustal stress fields using constraints provided by multiple 3D models employing different types of grids	潘懋	Journal of Central South University	第 26 卷, 第 9 期, 2019 年 9 月	SCI (E)	合作完成—第一人
78	Land Surface Temperature Retrieval from Sentinel-3A Sea and Land Surface Temperature Radiometer, Using a Split-Window Algorithm	任华忠	Remote Sensing	2019, 11, 650; doi:10.3390/rs11060650	SCI (E)	合作完成—第一人
79	Can crystal morphology indicate different generations of dolomites? Evidence from magnesium isotopes	沈冰	Chemical Geology	DOI: 10.1016/j.chemgeo.2019.04.007	SCI (E)	合作完成—第一人

80	Onset of the North-South Gravity Lineament, NE China: Constraints of Late Jurassic bimodal volcanic rocks	宋述光	Lithos	2019, 334-335:58-68. DOI: 10.1016/j.lithos. 2019.03.016	SCI(E)	合作完成—第一人
81	The structural origin of hydration repulsive force	孙墙	Chemical Physics Letters	DOI:10.1016/j.cpl ett.2018.10.066	SCI(E)	合作完成—第一人
82	Generation of solar spicules and subsequent atmospheric heating	田晖	Science	DOI:10.1007/s1143 1-020-1555-6	SCI(E)	合作完成—第一人
83	Volcanic succession, petrology, and geochemistry of the Sujiagou komatiite from the North China Craton.	田伟	Geological Journal	https://doi.org/10.1002/gj.3565	SCI(E)	合作完成—第一人
84	The most extensive Devonian fossil forest with small lycopsid trees bearing the earliest stigmarian roots.	王德明	Current Biology (Cell 子刊)	卷号 29 期号:16 页 码:2604-2615, DOI 10.1016/j.cub.201 9.06.053	SCI(E)	合作完成—第一人

85	Lattice Row Distance and Its Application in Row-Indexing	王河锦	Crystals	2019, 9(2):62. DOI: 10.3390/cryst9020062	SCI (E)	合作完成—第一人
86	Electron Acceleration by ICME-driven Shocks at 1 au	王玲华	The Astrophysical Journal	2019, 875(2). DOI: 10.3847/1538-4357/ab1133	SCI (E)	合作完成—第一人
87	Comparison of deterministic and stochastic approaches to crosshole seismic travel-time inversions	王彦宾	EARTH AND PLANETARY PHYSICS	DOI: 10.26464/epp2019056	SCI (E)	合作完成—第一人
88	Possible Site Effects Revealed by Regional Earthquake Records in the Qaidam Basin, China	王彦宾	Seismological Research Letters	280-293	SCI (E)	合作完成—第一人
89	Inferring demographics from human trajectories and geographical context	邬伦, 黄舟	Computers Environment and Urban Systems	DOI:10.1016/j.compenvurbsys.2019.101368	SCI (E)	合作完成—第一人
90	Statistical Study of Energetic Electron Butterfly Pitch Angle Distributions During Magnetic Dip Events	谢伦	Geophysics Research Letter	2019, 46(23). DOI:10.1029/2019GL085091	SCI (E)	合作完成—第一人

91	A Paleoproterozoic mantle source modified by subducted sediments under the North China craton	许成	Geochimica et Cosmochimica Acta	DOI: 10.1016/j.gca.2018.10.032	SCI (E)	合作完成—第一人
92	Revisiting the spore assemblages from the Lower Devonian Posongchong Formation of Wenshan, Yunnan Province, southwestern China	薛进庄	Earth and Environmental Science Transactions of the Royal Society of Edinburgh	1 - 16, 2018, DOI: 10.1017/S1755691018000233	SCI (E)	合作完成—第一人
93	PPD: Pyramid Patch Descriptor via Convolutional Neural Network	晏磊	Photogrammetric Engineering & Remote Sensing	2019, 85(9):673-686.	SCI (E)	合作完成—第一人
94	Hybrid Event Detection and Phase - Picking Algorithm Using Convolutional and Recurrent Neural Networks	岳汉	Seismological Research Letters	2019, 90(3):1079-1087.	SCI (E)	合作完成—第一人
95	Using the Maximum Effective Moment Criterion to Interpret Quartz <c>-Fabric Patterns	张波	Acta Geologica Sinica (English Edition)	2019 年 04 期, DOI:10.1111/1755-6724.13855	SCI (E)	合作完成—第一人
96	Crust-mantle coupling during continental convergence and break-up: Constraints from peridotite xenoliths from the Borborema Province, northeast Brazil	张进江	TECTONOPHYSICS	249-269, DOI:10.1016/j.tecto.2019.05.017	SCI (E)	合作完成—第一人

97	Modeling the Inception of Supercontinent Breakup: Stress State and the Importance of Orogens	张南	G-Cubed	4830-4848, DOI:10.1029/2019G C008538	SCI (E)	合作完成—第一人
98	Complex multiple-segment ruptures of the 28 September 2018, Sulawesi, Indonesia, earthquake	张勇	Chin Sci Bull	650-652, DOI: CNKI:SUN:JXTW.0.2 019-10-004	SCI (E)	合作完成—第一人
99	Early Cretaceous volcanic and sub-volcanic rocks in the Erlian Basin and adjacent areas, Northeast China: New geochemistry, geochronology and Hf isotopic compositions constraints on petrogenesis and tectonic setting	张志诚	International Geology Review	61 卷, 2019 - 12 , DOI: 10.1080/00206814. 2018.1517615	SCI (E)	合作完成—第一人
100	Spatial and temporal variations of stress field in the Longmenshan Fault Zone after the 2008 Wenchuan, China earthquake	赵里	Tectonophysics	第 767 卷, DOI:10.1016/j.tec to.2019.228172	SCI (E)	合作完成—第一人
101	Automated Detection of Dynamic Earthquake Triggering by the High-frequency Power Integral Ratio	周仕勇	GeophyResLetter	12977-12985, DOI:10.1029/2019G L083913	SCI (E)	合作完成—第一人
102	Small-scale aurora associated with magnetospheric flow vortices after a solar wind dynamic pressure decrease	周煦之	Journal of Geophysical Research: Space Physics	3303-3311, DOI:10.1029/2018J A026234	SCI (E)	合作完成—第一人

103	Effects of local dust storms on the upper atmosphere of Mars: Observations and simulations	邹鸿	Journal of Geophysical Research: Planets	602-616, DOI:10.1029/2018JE005864	SCI (E)	合作完成—第一人
104	Shallow-sea deghosting via a compressed sensing pseudo-vertical velocity method, IEEE Geoscience and Remote Sensing Letters	Luqing Cao, Tianyue Hu*, and Genyang Tang	IEEE Geoscience and Remote Sensing Letters	16(3): 357-361	SCI (E)	合作完成—第一人
105	虚同相轴方法及其在陆上地震层间多次波压制中的应用	崔永福, 刘嘉辉, 陈猛, 胡天跃*, 陈飞旭, 匡伟康	石油地球物理勘探	54(6):1228-1236, 1245	EI Compendex	合作完成—第二人

注：（1）论文、专著均限于教学研究、学术论文或专著，一般文献综述及一般教材不填报。请将有示范中心成员署名的论文、专著依次以国外刊物、国内重要刊物，外文专著、中文专著为序分别填报。（2）类型：SCI (E) 收录论文、SSCI 收录论文、A&HCL 收录论文、EI Compendex 收录论文、北京大学中文核心期刊要目收录论文、南京大学中文社会科学引文索引期刊收录论文 (CSSCI)、中国科学院中国科学引文数据库期刊收录论文 (CSCD)、外文专著、中文专著；国际会议论文集论文不予统计，可对国内发行的英文版学术期刊论文进行填报，但不得与中文版期刊同内容的论文重复。（3）外文专著：正式出版的学术著作。（4）中文专著：正式出版的学术著作，不包括译著、实验室年报、论文集等。（5）作者：所有作者，以出版物排序为准。

3. 仪器设备的研制和改装情况

序号	仪器设备名称	自制或改装	开发的功能和用途 (限 100 字以内)	研究成果 (限 100 字以内)	推广和应用的高校
1					
2					
...					

注：(1) 自制：实验室自行研制的仪器设备。(2) 改装：对购置的仪器设备进行改装，赋予其新的功能和用途。(3) 研究成果：用新研制或改装的仪器设备进行研究的创新性成果，列举 1—2 项。

4. 其它成果情况

名称	数量
国内会议论文数	2 篇
国际会议论文数	3 篇
国内一般刊物发表论文数	62 篇
省部委奖数	11 项
其它奖数	1 项

注：国内一般刊物：除“（三）2”以外的其他国内刊物，只填汇总数量。

五、信息化建设、开放运行和示范辐射情况

（一）信息化建设情况

中心网址	http://earthlab.pku.edu.cn/	
中心网址年度访问总量	5000 人次	
信息化资源总量	50000Mb	
信息化资源年度更新量	15000Mb	
虚拟仿真实验教学项目	15 项	
中心信息化工作联系人	姓名	郭艳军
	移动电话	18911630159
	电子邮箱	Yanjunguo@pku.edu.cn

(二) 开放运行和示范辐射情况

1. 参加示范中心联席会活动情况

所在示范中心联席会学科组名称	地学/环境学科组
参加活动的人次数	10 人次

2. 承办大型会议情况

序号	会议名称	主办单位名称	会议主席	参加人数	时间	类型
1	第十次李四光优秀学生奖颁奖大会	李四光地质科学奖基金会、李四光优秀学生奖委员会	雷朝滋	300	2019. 10. 26	全国性
2						
...						

注：主办或协办由主管部门、一级学会或示范中心联席会批准的会议。请按全球性、区域性、双边性、全国性等排序，并在类型栏中标明。

3. 参加大型会议情况

序号	大会报告名称	报告人	会议名称	时间	地点
1	北京大学地学虚拟仿真实验教学改革探索	郭艳军	2019 新时代学教学改革与创高校地球科新研讨会	20191129-20191201	昆明
2	领取国家虚拟仿真实验教学项目证书	郭艳军	中国慕课大会	20190409	北京
3	地质学组指南建设工作汇报	郭艳军	虚拟仿真实验教学创新联盟基础学科领域工作委员会成立大会	20190829-20190831	哈尔滨

注：大会报告：指特邀报告。

4. 承办竞赛情况

序号	竞赛名称	竞赛级别	参赛人数	负责人	职称	起止时间	总经费(万元)
1	全国中学生地球科学竞赛	省级	20000	张进江	教授	2019. 3-2019. 5	20

2	2019VR 创意创新创业大赛	省级	100	陈斌	副教授	201909-201912	20
...							

注：竞赛级别按国家级、省级、校级设立排序。

5. 开展科普活动情况

序号	活动开展时间	参加人数	活动报道网址
1	20190625	30	https://netdces.pku.edu.cn/xwdt/1318782.htm
2	20190808-09	500	https://netdces.pku.edu.cn/xwdt/1318759.htm
3	20190518	1000	https://netdces.pku.edu.cn/xwdt/1318865.htm
4	20190914-15	300	公众号 GMPKU (https://mp.weixin.qq.com/s/XskE7pKVnmam08Lxquq-5w)
5	20190501-04	3000	https://sess.pku.edu.cn/xwzx/xydt/318047.htm

6. 承办培训情况

序号	培训项目名称	培训人数	负责人	职称	起止时间	总经费(万元)
1	北京大学暑期“定量遥感”培训班	200	秦其明	教授	201907-201908	10
2						
...						

注：培训项目以正式文件为准，培训人数以签到表为准。

(三) 安全工作情况

安全教育培训情况		33 人次
是否发生安全责任事故		
伤亡人数(人)		未发生
伤	亡	
		√

注：安全责任事故以所在高校发布的安全责任事故通报文件为准。如未发生安全责任事故，请在其下方表格打钩。如发生安全责任事故，请说明伤亡人数。

六、审核意见

(一) 示范中心负责人意见

(示范中心承诺所填内容属实，数据准确可靠。)

示范中心承诺所填内容真实，数据准确可靠。

数据审核人：
示范中心主任：
(单位公章)

年 月 日

(二) 学校评估意见

所在学校年度考核意见：

(需明确是否通过本年度考核，并明确下一步对示范中心的支持。)

经学校审核，该中心 2019 年度考核报告中各项数据准确，中心的发展符合我校学生的特点和人才培养目标，学校给予考评通过。今后，学校将进一步加大对示范中心的投入力度，提升示范中心的建设条件，不断培养优秀的师资和管理团队，在经费和政策方面充分保证示范中心的可持续发展。

所在学校负责人签字：
(单位公章)

2020年6月1日